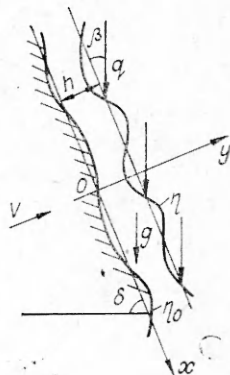


**ИССЛЕДОВАНИЕ УСТОЙЧИВОСТИ
ТЕЧЕНИЯ ПЛЕНКИ ЖИДКОГО МЕТАЛЛА,
ОБРАЗУЮЩЕЙСЯ ПРИ ИНТЕНСИВНОМ ВОЗДЕЙСТВИИ
ПОТОКА ЭЛЕКТРОНОВ**

Ю. П. Зорин, О. Ю. Мальцев

(Москва)

Гидродинамические процессы в сварочной ванне при электронно-лучевой сварке с глубоким проплавлением играют важную роль, так как процессами переноса жидкого металла в зоне обработки определяется большинство дефектов при формировании сварных швов (полости в объеме шва, колебания глубины проплавления по длине шва), а в ряде случаев гидродинамика определяет производительность обработки. Однако полное исследование гидродинамических процессов сильно усложняется их взаимосвязью с процессами теплопереноса, испарения и взаимодействия паров металла с электронным потоком. Поэтому на первом этапе исследования необходимы определенные упрощения. В данной работе в качестве первого приближения для течения металла вдоль фронта плавления при электронно-лучевой сварке с глубоким проплавлением рассматривается плоское течение пленки расплавленного металла под действием силы тяжести и импульса электронов. В работе определяется стационарное распределение функции тока и температуры, соответствующее такому течению, и исследуется гидродинамическая устойчивость этого стационарного течения относительно бесконечно малых двумерных возмущений. Схема взаимодействия высококонцентрированного потока электронов с металлом, в результате которого образуется жидкая пленка, показана на фиг. 1. Полуограниченный массив металла поддается со скоростью V , направленной по оси y ; граница $y = \eta_0$ — поверхность фазового перехода из твердого состояния в жидкое, а при $y = \eta$ происходит фазовый переход из жидкого состояния в газообразное под воздействием потока электронов с концентрацией энергии $q \sim 10^9 \text{ Вт/м}^2$, направленного под углом β к поверхности металла и равномерно распределенного вдоль всей оси x . Поверхность металла составляет угол δ с горизонтом. Процесс происходит в вакууме. Взаимодействие потока электронов с парами металла не учитывается.



Фиг. 1

1. Вывод системы уравнений для амплитуд возмущений. В безразмерных переменных для плоского течения имеем следующие уравнения Навье — Стокса, описывающие движение вязкой жидкости:

$$(1.1) \quad \begin{aligned} \frac{\partial^2 \psi}{\partial t \partial y} + \frac{\partial \psi}{\partial y} \frac{\partial^2 \psi}{\partial x \partial y} - \frac{\partial \psi}{\partial x} \frac{\partial^2 \psi}{\partial y^2} &= - \frac{\partial p_{jk}}{\partial x} + \frac{gh \sin \delta}{U_m^2} + \frac{1}{Re} \frac{\partial}{\partial y} \Delta \psi, \\ \frac{\partial^2 \psi}{\partial t \partial x} + \frac{\partial \psi}{\partial y} \frac{\partial^2 \psi}{\partial x^2} - \frac{\partial \psi}{\partial x} \frac{\partial^2 \psi}{\partial x \partial y} &= \frac{\partial p_{jk}}{\partial y} + \frac{gh \cos \delta}{U_m^2} + \frac{1}{Re} \frac{\partial}{\partial x} \Delta \psi, \end{aligned}$$

где ψ — функция тока; p_{jk} — давление в жидкости.

При записи (1.1) за характерные значения длины и скорости соответственно приняты средняя толщина жидкой пленки h и максимальная величина x составляющей скорости течения пленки U_m , достигаемая на верхней границе пленки при стационарном течении. Число Рейнольдса $Re = U_m h / v$, где v — кинематический коэффициент вязкости расплавленного металла.

При исключении p_{jk} из уравнений (1.1) следует уравнение для функции тока

$$(1.2) \quad \frac{\partial \Delta \psi}{\partial t} + \frac{\partial \psi}{\partial y} \frac{\partial \Delta \psi}{\partial x} - \frac{\partial \psi}{\partial x} \frac{\partial \Delta \psi}{\partial y} = \frac{1}{Re} \Delta \Delta \psi.$$

Образованные уравнения теплопроводности для жидкой и твердой фаз записываются следующим образом:

$$(1.3) \quad \frac{\partial t_{jk}}{\partial t} - \frac{\partial \psi}{\partial y} \frac{\partial t_{jk}}{\partial x} - \frac{\partial \psi}{\partial x} \frac{\partial t_{jk}}{\partial y} = \frac{1}{Re Pr} \Delta t_{jk},$$

$$(1.4) \quad \frac{\partial t_{\tau}}{\partial \tau} + v \frac{\partial t_{\tau}}{\partial y} = \frac{1}{\text{Re} \text{Pr}_{\tau}} \Delta t_{\tau}.$$

Здесь $\text{Pr} = v/a_{jk}$ — число Прандтля для расплавленного металла; $\text{Pr}_{\tau} = v/a_{\tau}$; a_{jk} и a_{τ} — коэффициенты температуропроводности жидкого и твердого металла; $v = \dot{V}/U_m$. За характерное значение температуры принята максимальная температура жидкого металла T_m , достигаемая на верхней границе пленки при стационарном течении.

Решения уравнений (1.2)–(1.4) должны удовлетворять ряду граничных условий. В безразмерной форме эти условия имеют следующий вид:

условия «прилипания» при $y = \eta_0$

$$(1.5) \quad \frac{\partial \psi}{\partial y} = 0, \quad -\frac{\partial \psi}{\partial x} = v;$$

условия плавления при $y = \eta_0$

$$(1.6) \quad t_{jk} = T_{pl}/T_m, \quad t_{\tau} = T_{pl}/T_m,$$

где T_{pl} — температура плавления металла;

условие непрерывности потока энергии при $y = \eta_0$

$$(1.7) \quad -\eta_{0x} \frac{\partial t_{jk}}{\partial x} + \frac{\partial t_{jk}}{\partial y} = \frac{\lambda_{\tau}}{\lambda_{jk}} \left(-\eta_{0x} \frac{\partial t_{\tau}}{\partial x} + \frac{\partial t_{\tau}}{\partial y} \right) + \frac{h\rho VL_{pl}}{\lambda_{jk} T_m},$$

где $\eta_{0x} = \partial \eta_0 / \partial x$, λ_{τ} и λ_{jk} — коэффициенты теплопроводности твердого и жидкого металла, ρ — плотность металла (принимается одинаковой для твердой и жидкой фаз), L_{pl} — удельная теплота плавления;

условие на бесконечно удаленной границе металла

$$(1.8) \quad t_{\tau} = T_{\infty}/T_m \text{ при } y = -\infty,$$

где $T_{\infty} = \text{const}$;

условие непрерывности потока вещества при $y = \eta$

$$(1.9) \quad \left(-\eta_x \frac{\partial \psi}{\partial y} - \frac{\partial \psi}{\partial x} - \eta_{\tau} \right) \frac{1}{\sqrt{1 + \eta_x^2}} = \rho_{\pi} v_{pn},$$

где $\eta_x = \partial \eta / \partial x$, $\eta_{\tau} = \partial \eta / \partial \tau$, ρ_{π} — плотность паров металла, отнесенная к плотности жидкого металла, v_{pn} — нормальная составляющая безразмерной скорости паров металла;

условие непрерывности тангенциальной составляющей потока импульса при $y = \eta$

$$(1.10) \quad -\frac{4}{\text{Re}} \frac{\partial^2 \psi}{\partial x \partial y} \frac{\eta_x}{1 + \eta_x^2} + \frac{1}{\text{Re}} \left(\frac{\partial^2 \psi}{\partial y^2} - \frac{\partial^2 \psi}{\partial x^2} \right) \frac{1 - \eta_x^2}{1 + \eta_x^2} = \\ = q \sqrt{\frac{2m_e / (\bar{e}u_e)}{\rho U_m^2}} \left(\frac{\sin 2\beta}{2} \frac{i - \eta_x^2}{1 + \eta_x^2} + \cos 2\beta \frac{\eta_x}{1 + \eta_x^2} \right),$$

где m_e и \bar{e} — масса и заряд электрона, u_e — ускоряющее напряжение;

условие непрерывности нормальной составляющей потока импульса при $y = \eta$

$$(1.11) \quad p_{jk} + \frac{2}{\text{Re}} \frac{\partial^2 \psi}{\partial x \partial y} \frac{i - \eta_x^2}{1 + \eta_x^2} + \frac{2}{\text{Re}} \left(\frac{\partial^2 \psi}{\partial y^2} - \frac{\partial^2 \psi}{\partial x^2} \right) \frac{\eta_x}{1 + \eta_x^2} = p_{\pi} + \rho_{\pi} v_{pn}^2,$$

где p_{jk} и p_{π} — безразмерные давления в жидкости и в парах металла;

условие непрерывности потока энергии при $y = \eta$

$$(1.12) \quad Q (\sin \beta + \eta_x \cos \beta) \frac{1}{\sqrt{1 + \eta_x^2}} = \rho_{\pi} v_{pn} \left(\frac{v_{pn}^2}{2} + L \right) + \\ + \lambda \left(-\eta_x \frac{\partial t_{jk}}{\partial x} + \frac{\partial t_{jk}}{\partial y} \right) \frac{1}{\sqrt{1 + \eta_x^2}},$$

где $Q = q/(\rho U_m^3)$, $L = L_{\text{исп}}/U_m^2$, $L_{\text{исп}}$ — удельная теплота испарения металла, $\lambda = \lambda_{\text{ж}} T_m/(h \rho U_m^3)$; условие равенства температур жидкости и паров металла при $y = \eta$

$$(1.13) \quad t_{\text{ж}} = t_{\text{п}},$$

где $t_{\text{п}}$ — температура паров металла; уравнение Менделеева — Клапейрона

$$(1.14) \quad p_{\text{п}} = \rho_{\text{п}} R T_m t_{\text{п}} / U_m^2,$$

где R — универсальная газовая постоянная; уравнение Клапейрона — Клаузиуса

$$(1.15) \quad p_{\text{ж}} = B / (\rho U_m^2) \exp [-L_{\text{исп}} / (R T_m t_{\text{ж}})] \quad \text{при } y = \eta,$$

где $B = p_0 \exp [L_{\text{исп}} / (R T_{\text{ж}})]$, $T_{\text{ж}}$ — температура кипения металла при атмосферном давлении p_0 ; условие Жуге [1]

$$(1.16) \quad v_{\text{пл}} = a/U_m \quad \text{при } y = \eta,$$

где $a = \sqrt{\gamma R T_m t_{\text{п}}}$ — скорость звука в парах металла, γ — показатель адиабаты.

Имеется точное решение уравнений (1.1), (1.3), (1.4), не зависящее от времени:

$$\psi_0 = A_1 y + B_1 y^2 - A_1/k_1 \exp(k_1 y) + D_1 x,$$

$$t_{\text{ж}0} = A_2 + B_2 \exp(k_2 y), \quad t_{\text{т}0} = A_3 + B_3 \exp(k_3 y),$$

где $k_1 = Vh/\nu$; $k_2 = Vh/a_{\text{ж}}$; $k_3 = Vh/a_{\text{т}}$; $B_1 = gh \sin \delta / (2VU_m)$. Значения коэффициентов $A_1, A_2, A_3, B_2, B_3, D_1$ находятся из граничных условий, записываемых в стационарном случае на границах $y = -\infty$, $y = 0$ и $y = 1$: $A_1 = v(g \sin \delta / V - \tau_e/\mu) / (VU_m \exp k_1)$, где $\tau_e = q \sqrt{2m_e/(e\mu_e)} \times \sin \beta \cos \beta$, $\mu = \rho v$ — динамический коэффициент вязкости жидкого металла; $A_2 = T_{\text{пл}}/T_m - (1 - T_{\text{пл}}/T_m) / (\exp k_2 - 1)$, $A_3 = T_{\infty}/T_m$, $B_2 = (1 - T_{\text{пл}}/T_m) / (\exp k_2 - 1)$, $B_3 = (T_{\text{пл}} - T_{\infty})/T_m$, $D_1 = -V/U_m$.

Из граничных условий находятся также температура T_m , толщина жидкой пленки h и скорость подачи V . Эти величины зависят от концентрации энергии q , угла β и теплофизических характеристик металла. Так, температура T_m определяется из трансцендентного уравнения

$$q \sin \beta = B \exp [-L_{\text{исп}} / (R T_m)] [c_{\text{ж}}(T_m - T_{\text{пл}}) + c_{\text{т}}(T_{\text{пл}} - T_{\infty}) + L_{\text{пл}} + L_{\text{исп}} + \gamma R T_m / 2] / [\gamma + 1] \sqrt{R T_m / \gamma},$$

где $c_{\text{ж}}$ и $c_{\text{т}}$ — удельные теплоемкости жидкого и твердого металла. Скорость подачи массива металла

$$V = q \sin \beta / \{ [c_{\text{ж}}(T_m - T_{\text{пл}}) + c_{\text{т}}(T_{\text{пл}} - T_{\infty}) + L_{\text{пл}} + L_{\text{исп}} + \gamma R T_m / 2] \rho \}.$$

Толщина жидкой пленки

$$h = \frac{a_{\text{ж}}}{V} \ln \left(1 + \frac{c_{\text{ж}}}{c_{\text{т}}} \frac{T_m - T_{\text{пл}}}{T_{\text{пл}} - T_{\infty} + L_{\text{пл}}/c_{\text{т}}} \right).$$

Можно, однако, установить, что стационарное течение является неустойчивым при некотором соотношении параметров задачи. Положим

$$\psi = \psi_0 + \psi_1, \quad t_{\text{ж}} = t_{\text{ж}0} + t_{\text{ж}1}, \quad t_{\text{т}} = t_{\text{т}0} + t_{\text{т}1}, \quad \eta = 1 + \eta_1,$$

$$\eta_0 = 0 + \eta_{01}, \quad p_{\text{п}} = p_{\text{п}0} + p_{\text{п}1}, \quad \rho_{\text{п}} = \rho_{\text{п}0} + \rho_{\text{п}1}, \quad t_{\text{п}} = t_{\text{п}0} + t_{\text{п}1},$$

здесь $p_{\text{п}0}$, $\rho_{\text{п}0}$ и $t_{\text{п}0}$ — характеристики паров металла, соответствующие стационарному процессу; величины с индексом 1 — бесконечно малые

плоские периодические возмущения, имеющие следующий вид:

$$(1.17) \quad \begin{aligned} \psi_1 &= f(y) \exp [i\alpha(x - ct)], & t_{\text{ж1}} &= \varphi_{\text{ж}}(y) \exp [i\alpha(x - ct)], \\ t_{\text{т1}} &= \varphi_{\text{т}}(y) \exp [i\alpha(x - ct)], & \eta_1 &= n \exp [i\alpha(x - ct)], \\ \eta_{01} &= n_0 \exp [i\alpha(x - ct)], & p_{\text{п1}} &= p_1 \exp [i\alpha(x - ct)], \\ \rho_{\text{п1}} &= \rho_1 \exp [i\alpha(x - ct)], & t_{\text{п1}} &= t_1 \exp [i\alpha(x - ct)], \end{aligned}$$

где α — волновое число; c — фазовая скорость возмущений.

Подставим (1.17) в уравнения (1.2)–(1.4). После линеаризации получим систему обыкновенных дифференциальных уравнений относительно амплитуд возмущений функций тока и температур жидкой и твердой фаз

$$(1.18) \quad (u - c)(f'' - \alpha^2 f) - u''f = -\frac{i}{\alpha \text{Re}} (f^{IV} - 2\alpha^2 f'' + \alpha^4 f) + \frac{ik_1}{\alpha \text{Re}} (f''' - \alpha^2 f');$$

$$(1.19) \quad (u - c)\varphi_{\text{ж}} - t'_{\text{ж0}}f = -\frac{i}{\alpha \text{Re} \text{Pr}} (\varphi''_{\text{ж}} - \alpha^2 \varphi_{\text{ж}}) + \frac{ik_1}{\alpha \text{Re}} \varphi'_{\text{ж}};$$

$$(1.20) \quad -c\varphi_{\text{т}} = -\frac{i}{\alpha \text{Re} \text{Pr}_{\text{т}}} (\varphi''_{\text{т}} - \alpha^2 \varphi_{\text{т}}) + \frac{ik_1}{\alpha \text{Re}} \varphi'_{\text{т}},$$

здесь и далее штрих обозначает дифференцирование по y , $u = \partial \psi_0 / \partial y$.

2. Решение системы уравнений для амплитуд возмущений. Считаем, что αRe велико. Тогда уравнение (1.18) есть линейное однородное обыкновенное дифференциальное уравнение с переменными коэффициентами и малым параметром $(\alpha \text{Re})^{-1}$ при старшей производной. Его решение ищется, согласно [2], в виде суперпозиции частных решений

$$f(y) = C_1 f_1(y) + C_2 f_2(y) + C_3 f_3(y) + C_4 f_4(y),$$

где f_1 и f_2 — решения «невязкого» уравнения, которое получается из (1.18), если пренебречь вязкостью:

$$(2.1) \quad (u - c)(f'' - \alpha^2 f) - u''f = 0.$$

Решения уравнения (2.1) можно определить в виде разложения по степеням разности $y - y_c$, где y_c — точка, в которой $u(y_c) = c$,

$$(2.2) \quad f_1 = \sum_{k=1}^{\infty} a_k (y - y_c)^k, \quad f_2 = 2E_2 f_1 \ln(y - y_c) + \sum_{k=0}^{\infty} b_k (y - y_c)^k.$$

Для коэффициентов разложений (2.2) справедливы рекуррентные соотношения

$$\begin{aligned} a_1 &= 1, \quad a_2 = E_2, \quad a_{k+1} = E_{k+1} + \frac{1}{k(k+1)} \left[\alpha^2 (E_{k-1} - E_0 a_k) + \sum_{j=2}^k \gamma_j a_j \right], \\ k &\geq 2, \quad b_0 = 1, \quad b_1 = E_2, \\ b_{k+1} &= \frac{k+2}{k} E_{k+2} + \frac{1}{k(k+1)} \left[\alpha^2 (E_k - E_0 b_k) + \sum_{j=1}^k \gamma_j b_j - \right. \\ &\quad \left. - 2E_2 \sum_{j=1}^{k+1} (2j-1) a_j E_{k-j+2} \right], \quad k \geq 1, \\ \gamma_j &= \alpha^2 E_{k-j} + (k+1)(k+2-2j) E_{k-j+2}, \quad E_k = \frac{u^{(k)}(y_c)}{k! u'(y_c)}. \end{aligned}$$

Другая пара независимых частных решений уравнения (1.18) f_3 и f_4 находится в форме

$$(2.3) \quad f(y) = \exp \left(\int g_* dy \right), \quad g_*(y) = \sum_{m=0}^m (\alpha \text{Re})^{\frac{1-m}{2}} g_m(y).$$

Подстановка (2.3) в уравнение (1.18) позволяет определить

$$g_0 = \pm \sqrt{i(u - c)}, \quad g_1 = -\frac{5}{2} \frac{g'_0}{g_0} + \frac{k_1}{2},$$

в результате чего можно найти

$$f_{3,4} = (u - c)^{-5/4} \exp \left[+ \int_{y_c}^y \sqrt{i\alpha \operatorname{Re}(u - c)} dy + \frac{k_1}{2} y \right].$$

Решения f_3 и f_4 вблизи $y = y_c$ находятся непосредственно из уравнения (1.18) при введении нового переменного $z = (y - y_c)/\varepsilon$, $\varepsilon = [\alpha \operatorname{Re} u'(y_c)]^{-1/3}$. Если искать решения $f(y) = \chi(z)$ в форме ряда по степеням ε , $\chi(z) = \sum_{k=0}^{\infty} \varepsilon^k \chi^{(k)}$, то после приравнивания коэффициентов при одинаковых степенях ε можно получить

$$\chi_1^{(0)} = z, \quad \chi_2^{(0)} = 1, \quad \chi_{3,4}^{(0)} = \int_{\pm\infty}^z dz \int_{\pm\infty}^z \sqrt{z} H_{1/3}^{(1,2)} \left[\frac{2}{3} (iz)^{3/2} \right] dz,$$

где $H_{1/3}^{(1)}$ и $H_{1/3}^{(2)}$ — функции Ганкеля. Асимптотика функций Ганкеля позволяет отождествить решения $f_{1,2,3,4}$ в соответствии с решениями $\chi_{1,2,3,4}$, а также определить нужную ветвь при обходе точки y_c

$$-7\pi/6 < \arg(y - y_c) < \pi/6.$$

Уравнение (1.19) — это линейное неоднородное обыкновенное дифференциальное уравнение с малым параметром $(\alpha \operatorname{Re})^{-1}$ при старшей производной. Его решение ищется в виде

$$\varphi_{jk}(y) = C_5 \varphi_{jk1}(y) + C_6 \varphi_{jk2}(y) + \varphi_{jk4}(y),$$

где $\varphi_{jk1,2}$ — фундаментальная система решений однородного уравнения, соответствующего (1.19),

$$(2.4) \quad (u - c) \varphi_{jk} = - \frac{i}{\alpha \operatorname{Re} \Pr} (\varphi_{jk}'' - \alpha^2 \varphi_{jk}) + \frac{ik_1}{\alpha \operatorname{Re}} \varphi_{jk}';$$

φ_{jk4} — частное решение уравнения (1.19).

Решения уравнения (2.4) находятся в виде

$$(2.5) \quad \varphi_{jk}(y) = \exp \left(\int h_* dy \right), \quad h_*(y) = \sum_{m=0}^{\infty} (\alpha \operatorname{Re})^{\frac{1-m}{2}} h_m(y).$$

Подстановка (2.5) в уравнение (2.4) позволяет определить

$$h_0 = \pm \sqrt{i \Pr(u - c)}, \quad h_1 = - \frac{1}{2} \frac{h_0'}{h_0} + \frac{\Pr k_1}{2},$$

в результате чего можно найти

$$\varphi_{jk1,2} = (u - c)^{-1/4} \exp \left[\mp \int_{y_c}^y \sqrt{i\alpha \operatorname{Re} \Pr(u - c)} dy + \frac{\Pr k_1}{2} y \right].$$

Частное решение уравнения (1.19) может быть представлено асимптотическим разложением

$$(2.6) \quad \varphi_{jk4}(y) = \sum_{m=0}^{\infty} (\alpha \operatorname{Re})^{-m} \varphi_{jk4}^{(m)}(y).$$

Подставляя (2.6) в (1.19) и ограничиваясь первым членом разложения, получим $\varphi_{jk4} = t_0 f/(u - c)$.

Решения уравнения (1.20) ищутся тем же методом, что и решения однородного уравнения (2.4). В результате амплитуда возмущения температуры твердого металла представится выражением

$$\varphi_T(y) = C_7 \varphi_{T1}(y) + C_8 \varphi_{T2}(y), \quad \varphi_{T1,2} = \exp(\mp \sqrt{-i\alpha \operatorname{Re} \Pr_T c} + \Pr_T k_1/2)y.$$

3. Построение нейтральных кривых. Подставим выражения (1.17) в граничные условия (1.5)–(1.16). После линеаризации получим систему однородных алгебраических уравнений. Из анализа этой системы следует, что $p_1 = \rho_1 = t_1 = 0$. Для остальных неизвестных имеем следующие условия:

$$(3.1) \quad f'(0) + u'(0)n_0 = 0;$$

$$(3.2) \quad f(0) = 0;$$

$$(3.3) \quad \varphi_{жк}(0) + t'_{жк0}(0)n_0 = 0;$$

$$(3.4) \quad \varphi_t(0) + t'_{т0}(0)n_0 = 0;$$

$$(3.5) \quad \varphi'_{жк}(0) - \frac{\lambda_n}{\lambda_{жк}} \varphi'_t(0) + \left[t''_{жк0}(0) - \frac{\lambda_n}{\lambda_{жк}} t''_{т0}(0) \right] n_0 = 0;$$

$$(3.6) \quad \varphi_t(-\infty) = 0;$$

$$(3.7) \quad f''(1) + \alpha^2 f(1) + [u''(1) - 2i\alpha u'(1) \operatorname{ctg}(2\beta)]n = 0;$$

$$(3.8) \quad f'(1) + u'(1)n = 0;$$

$$(3.9) \quad \varphi_{жк}(1) + [t''_{жк0}(1) - i\alpha Q \cos \beta/\lambda]n = 0;$$

$$(3.10) \quad \varphi_{жк}(1) + t'_{жк0}(1)n = 0.$$

Уравнения (3.1)–(3.10) — это система однородных алгебраических уравнений относительно десяти неизвестных C_1 – C_8 , n_0 , n . Для существования нетривиального решения системы необходимо и достаточно, чтобы ее главный определитель равнялся 0. После оценки элементов определятеля по порядку величины это условие принимает вид

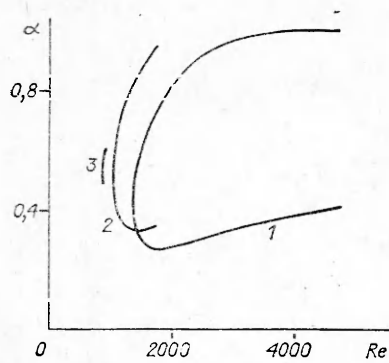
$$(3.11) \quad \frac{f'_1(1)f'_2(0) - f'_2(1)f'_1(0)}{f'_1(1)f'_2(0) - f'_2(1)f'_1(0)} = \frac{f_3(0)}{f'_3(0)}.$$

Уравнение (3.11) называется вековым и служит для определения собственных значений фазовой скорости возмущений c . Отношение $f_3(0)/f'_3(0)$ выражается через затабулированную функцию Титъенса [3], левая часть уравнения (3.11) определяется с помощью разложений (2.2). Если положить мнимую часть c равной нулю, то соотношение (3.11) будет являться уравнением нейтральной поверхности, разделяющей области устойчивости и неустойчивости.

Нас интересует влияние на устойчивость параметров q и δ задачи. Задаваясь конкретным металлом и фиксируя угол падения электронов β , можно получить нейтральные кривые в координатах Re , α для различных q . На фиг. 2 такие кривые, построенные в результате численного решения уравнения (3.11), показаны для течения пленки расплавленного железа при $\beta = 5^\circ$ (I соответствует 10^9 Вт/м², 2 — $1,5 \cdot 10^9$ Вт/м², 3 — $2 \cdot 10^9$ Вт/м²). В качестве значений теплофизических характеристик были

взяты следующие величины [4, 5]: $\rho = 7230$ кг/м³, $c_{ж} = 750$ Дж/(кг·К), $c_t = 700$ Дж/(кг·К), $\lambda_{жк} = 10$ Вт/(м·К), $\lambda = 40$ Вт/(м·К), $L_{пл} = 2,7 \cdot 10^5$ Дж/кг, $L_{исп} = 6,3 \cdot 10^6$ Дж/кг, $T_{пл} = 1810$ К, $T_k = 3300$ К, $\mu = 2,7 \cdot 10^{-3}$ кг/(м·с). Значения остальных параметров, используемых в расчетах: $u_e = 25$ кВ, $T_\infty = 300$ К.

Для фиксированного q величина числа Рейнольдса однозначно определяется углом наклона массива δ . Так, концевым точкам нейтральных кривых (см. фиг. 2), полученных для $q_1 = 10^9$ Вт/м², $q_2 = 1,5 \cdot 10^9$ Вт/м², $q_3 = 2 \cdot 10^9$ Вт/м², со-



Фиг. 2

отвечает угол наклона $\delta = 90^\circ$, а крайним левым точкам кривых — углы $\delta_1 = 14^\circ$, $\delta_2 = 34^\circ$, $\delta_3 = 79^\circ$. Это означает, что, например, при $q = 10^9 \text{ Вт}/\text{м}^2$ течение будет устойчивым по отношению к бесконечно малым плоским возмущениям при наклоне, меньшем 14° . А при $q > 2,01 \cdot 10^9 \text{ Вт}/\text{м}^2$ (для $q = 2,01 \cdot 10^9 \text{ Вт}/\text{м}^2$ нейтральная кривая вырождается в точку) течение будет устойчивым вплоть до вертикального положения пленки.

Поступила 14 III 1983

ЛИТЕРАТУРА

1. Афанасьев Ю. В., Крохин О. П. Газодинамическая теория воздействия излучения лазера на конденсированные вещества. — Тр. ФИАН. Квантовая радиофизика, 1970, т. 52.
2. Линь Цзя-цзяо. Теория гидродинамической устойчивости. М.: ИЛ, 1958.
3. Кочин Н. Е., Кибель П. А., Розе Н. В. Теоретическая гидромеханика. Ч. 2. М.: Физматгиз, 1963.
4. Варгафтик И. Б. Теплофизические свойства веществ. М.—Л.: Гос. энерг. изд., 1956.
5. Чиркин В. С. Теплофизические свойства материалов ядерной техники. М.: Атомиздат, 1968.

УДК 532.526.2

РАСЧЕТ ТЕЧЕНИЙ РАСПЛАВА В АМПУЛЕ

B. B. Кузнецов

(Новосибирск)

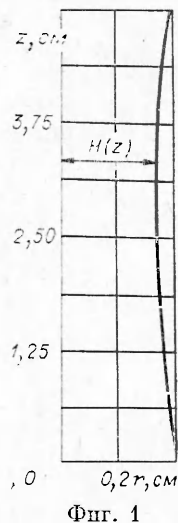
В настоящее время возникла задача определения распределения примеси легирующей добавки при кристаллизации в условиях пониженного тяготения. Физические особенности таких процессов рассмотрены в [1—3]. Для решения этой задачи необходимо знать поле скоростей течения расплава. В ряде работ [4, 5] предложены схемы расчета этой задачи в основном для умеренных чисел Рейнольдса и Марангони.

В данной работе предлагается асимптотическая схема стационарной термокапиллярной конвекции в цилиндрической ампуле при больших числах Рейнольдса и Марангони; такая ситуация реализуется при достаточно больших перепадах температуры вдоль боковой стенки ампулы и малой вязкости расплава. Течение состоит из совокупности пограничных слоев Прандтля и Марангони, которые сопрягаются с ядром течения. Оссесимметричное циркуляционное течение в ядре рассчитано на основе схемы Прандтля — Бэтчелора. По указанной схеме произведен расчет термокапиллярной конвекции расплава в ампуле.

1. Рассматривается задача определения поля скоростей термокапиллярной конвекции расплава в цилиндрической ампуле при направленной кристаллизации в условиях отсутствия силы тяжести. Область течения изображена на фиг. 1. Объемное сжатие полупроводниковых материалов при расплавлении обусловливает наличие в ампуле пустот, которые предполагаются распределенными вдоль боковой стенки ампулы. Течение полагается ламинарным, стационарным и осесимметричным. Предположение стационарности объясняется тем, что время кристаллизации всей ампулы обычно составляет несколько часов, поэтому скорость продвижения фронта кристаллизации имеет порядок $10^{-4} \text{ см}/\text{с}$, что существенно меньше скорости термокапиллярной конвекции при достаточно большом перепаде температуры вдоль ампулы.

При сделанных предположениях течение описывается системой уравнений Навье — Стокса

$$(1.1) \quad \begin{aligned} uu_r + uw_z &= -\frac{p_r}{\rho} + v \left(u_{rr} + \frac{1}{r} u_r - \frac{1}{r^2} u + u_{zz} \right), \\ uw_r + ww_z &= -\frac{p_z}{\rho} + v \left(w_{rr} + \frac{1}{r} w_r + w_{zz} \right), \\ u_r + \frac{1}{r} u + w_z &= 0, \end{aligned}$$



Фиг. 1